

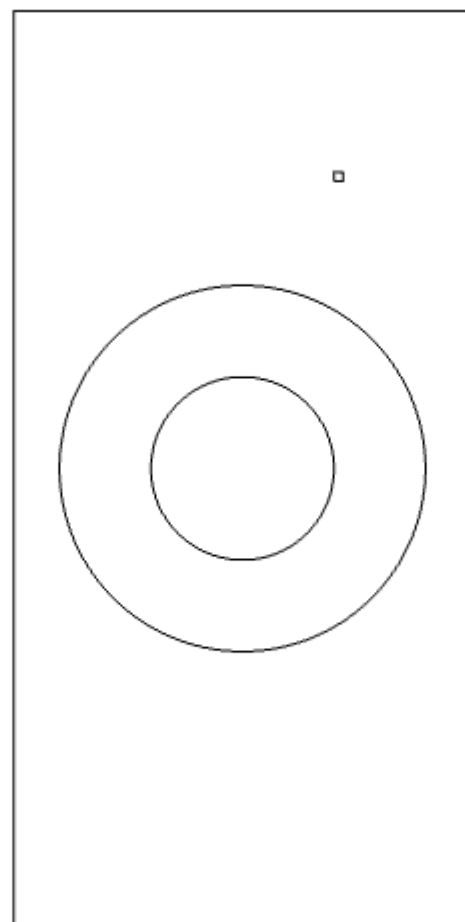
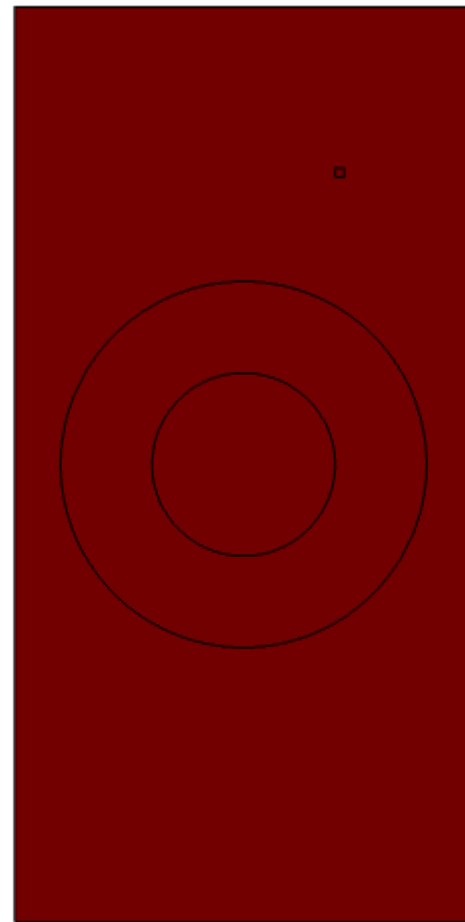
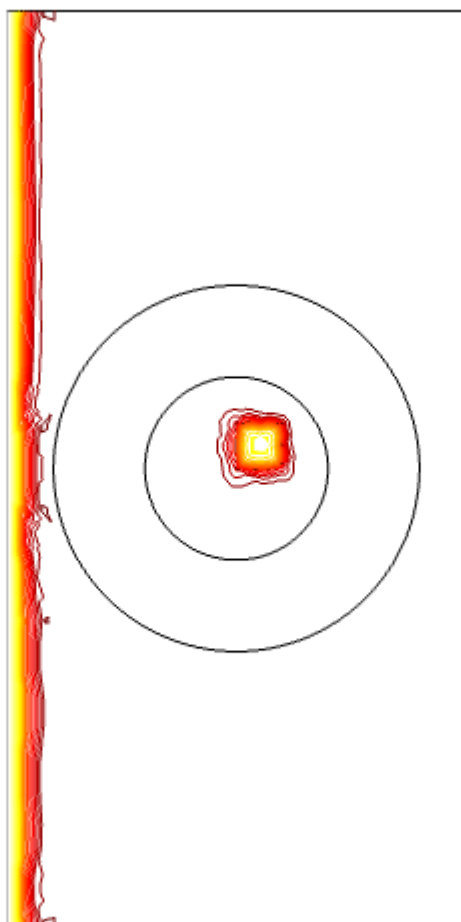
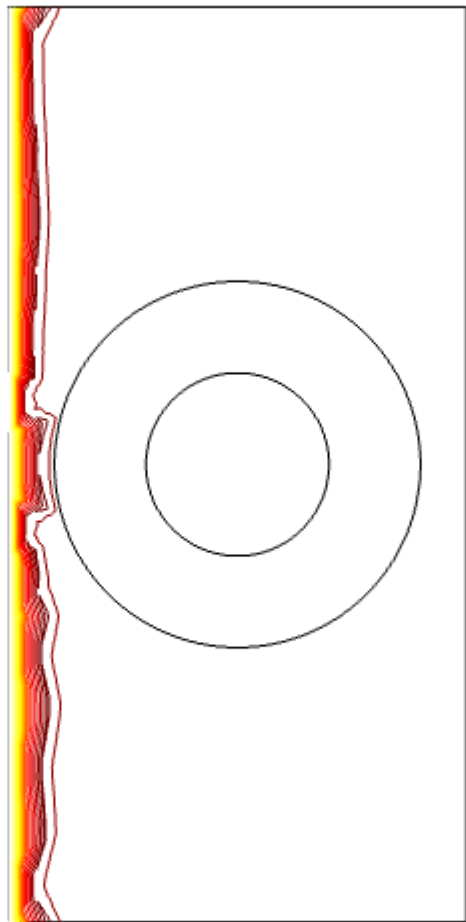
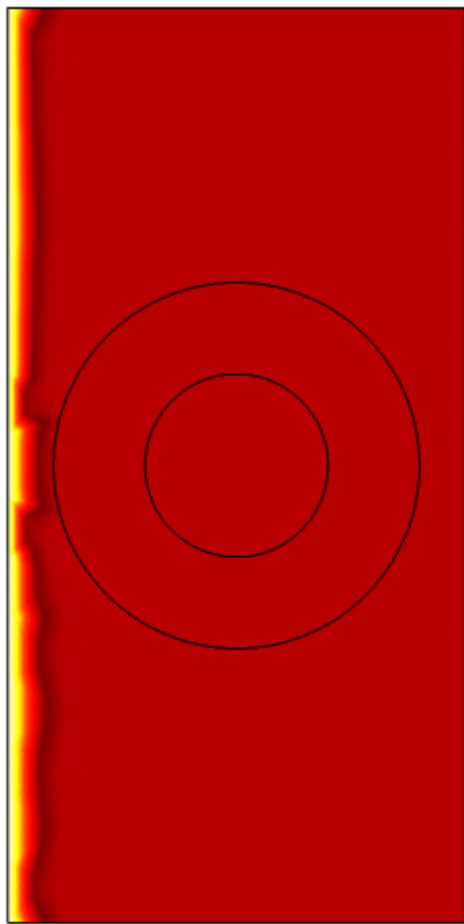
热隐身衣

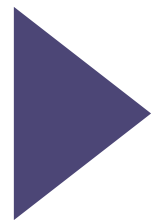
HTML5 网页演示

舒驰

JUN.13,2024

COMSOL模拟





PART 01

理论分析

热传导方程

热传导方程：

$$\rho c \frac{\partial T}{\partial t} = \nabla \cdot (\kappa \nabla T)$$

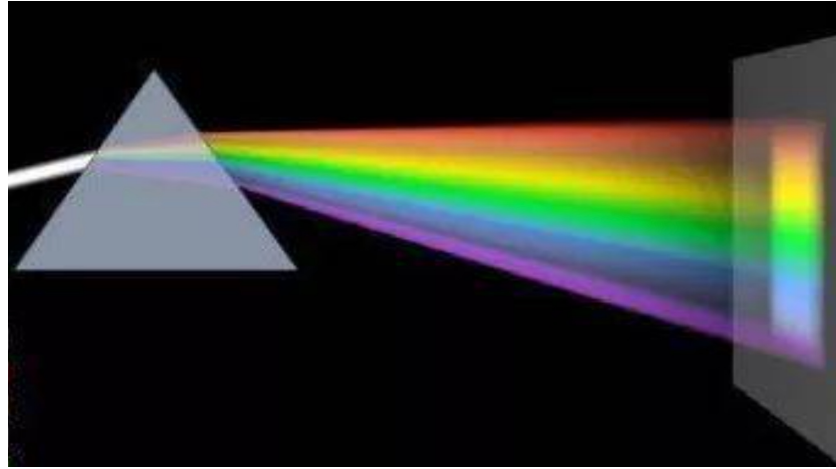
- ρ : 介质的密度 (单位: kg/m^3)
- c : 介质的比热容 (单位: $J/(kg \cdot K)$)
- T : 温度 (单位: K)
- t : 时间 (单位: s)
- κ : 热导率 (单位: $W/(m \cdot K)$)

在三维欧氏空间下，材料各项同性时：

$$\rho c \frac{\partial T}{\partial t} = \kappa \left(\frac{\partial^2 T}{\partial x^2} + \frac{\partial^2 T}{\partial y^2} + \frac{\partial^2 T}{\partial z^2} \right)$$

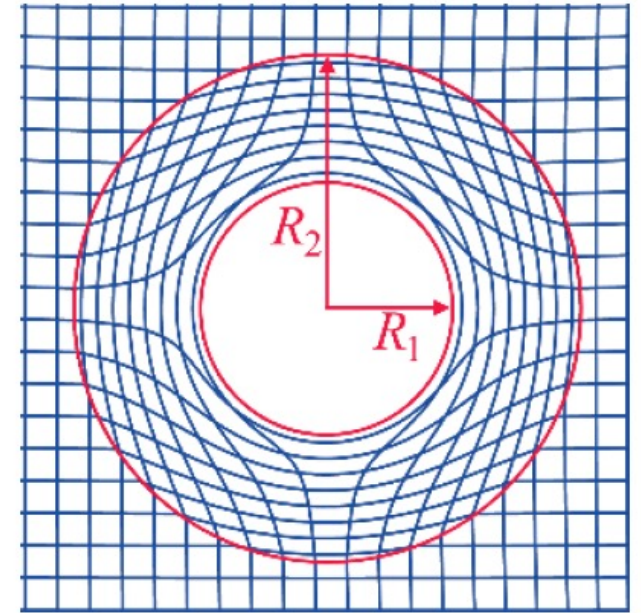
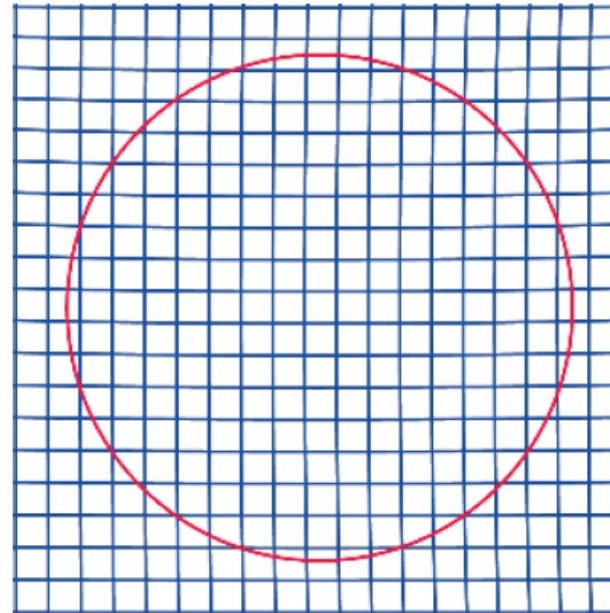
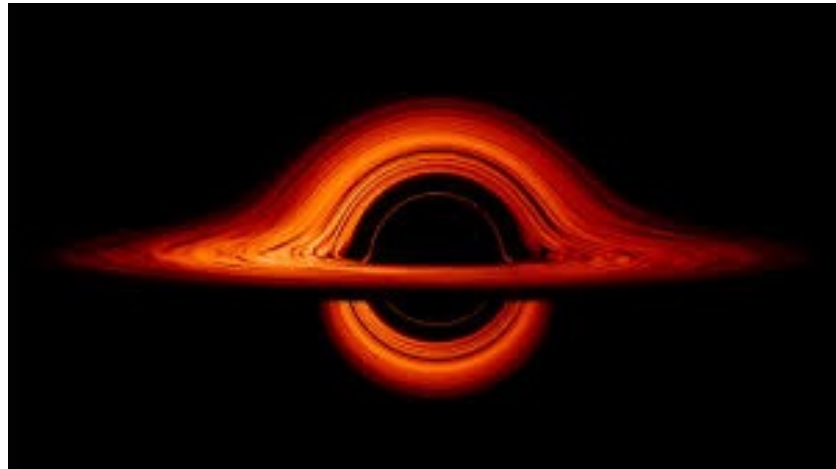
扩散方程



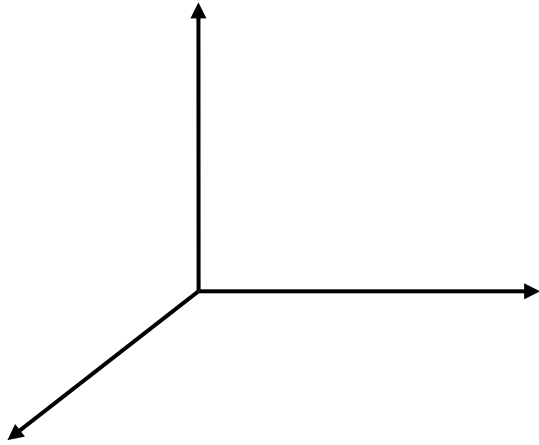


$$\rho c \frac{\partial T}{\partial t} = \nabla \cdot (\kappa \nabla T)$$

$$\rho c \frac{\partial T}{\partial t} = \frac{1}{\sqrt{g}} \partial_\mu \left[\sqrt{g} \kappa_\alpha^\mu g^{\alpha\nu} \partial_\nu T \right]$$



Metric



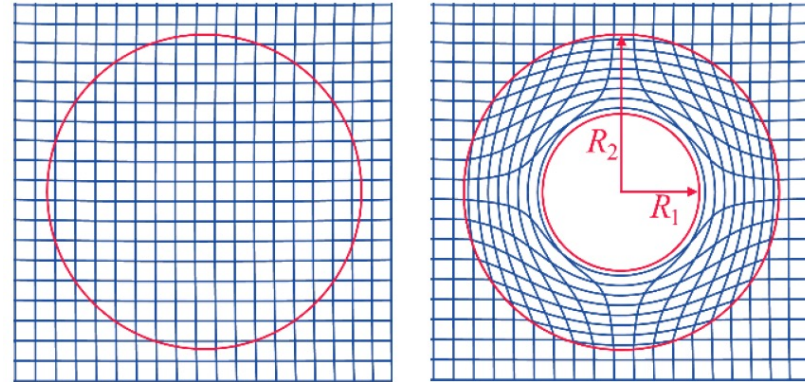
$$ds^2 = dx^2 + dy^2 + dz^2$$



$$J = \begin{pmatrix} \frac{\partial r}{\partial x} & \frac{\partial r}{\partial y} & \frac{\partial r}{\partial z} \\ \frac{\partial \theta}{\partial x} & \frac{\partial \theta}{\partial y} & \frac{\partial \theta}{\partial z} \\ \frac{\partial \phi}{\partial x} & \frac{\partial \phi}{\partial y} & \frac{\partial \phi}{\partial z} \end{pmatrix}$$

$$ds^2 = r^2 d\theta^2 + r^2 \sin^2 \theta d\phi^2$$

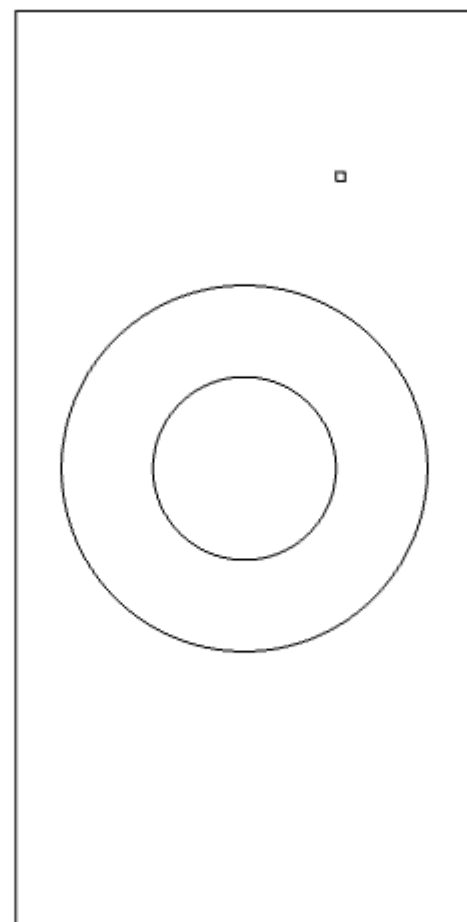
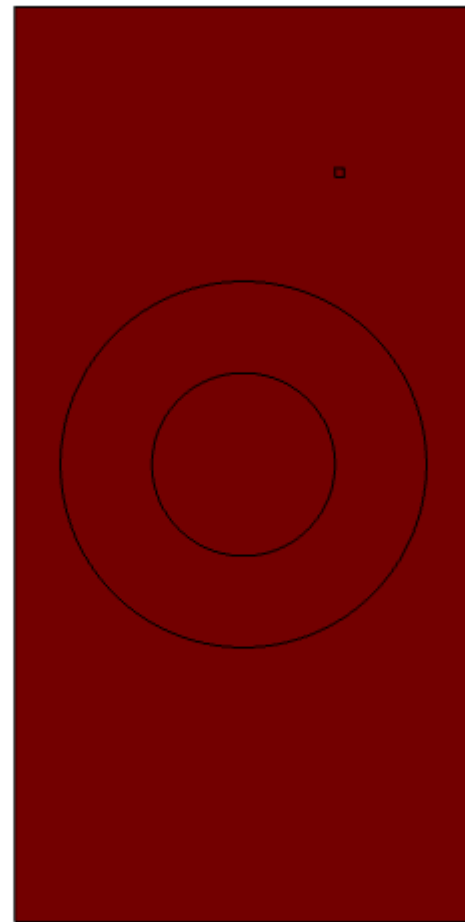
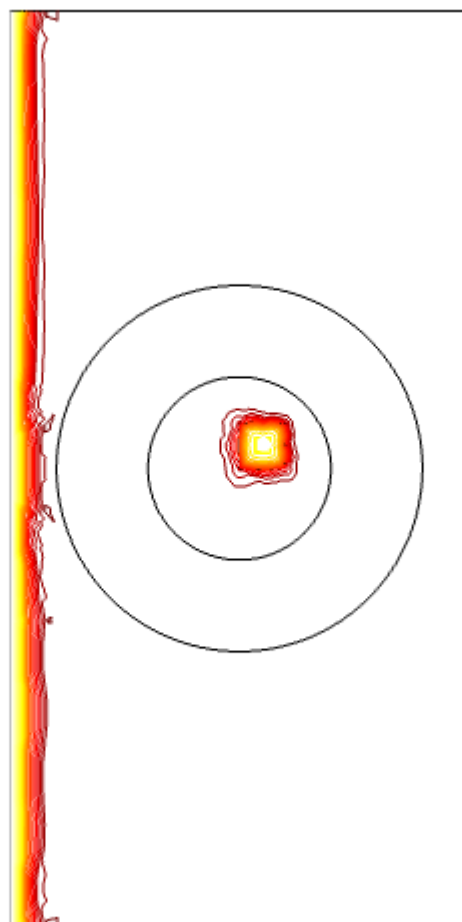
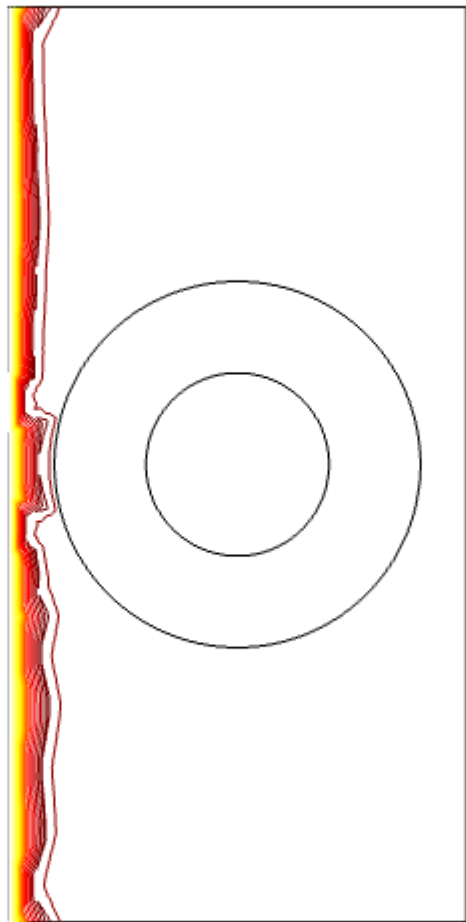
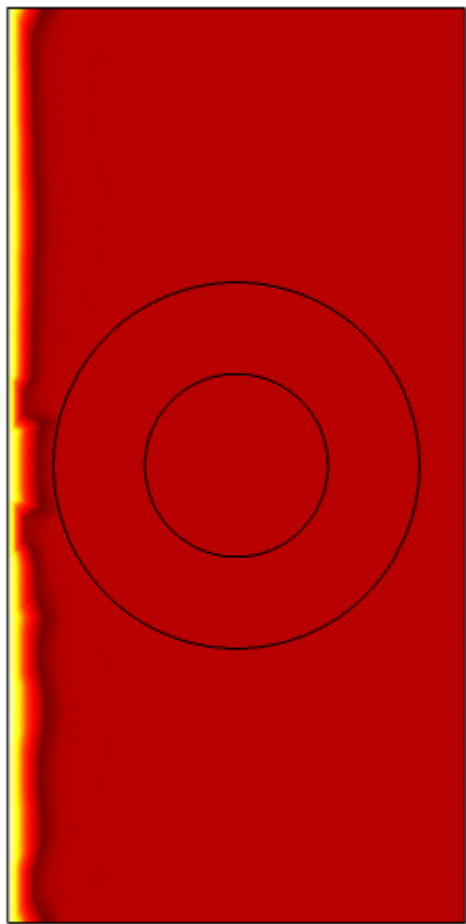
$$\rho c \frac{\partial T}{\partial t} = \frac{1}{\sqrt{g}} \partial_\mu \left[\sqrt{g} \kappa_\alpha^\mu g^{\alpha\nu} \partial_\nu T \right]$$

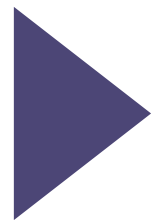


$$\sqrt{g} \kappa_\alpha^\mu g^{\alpha\nu} = \tilde{\kappa}^{\mu\nu} \quad \tilde{\kappa} = \frac{J^T \tilde{\kappa}' J}{\det J}$$

$$J = \begin{pmatrix} \cos \theta & -\sin \theta \\ \sin \theta & \cos \theta \end{pmatrix} \begin{pmatrix} \frac{R_2 - R_1}{R_2} \\ r \\ \frac{r}{r'} \end{pmatrix} \begin{pmatrix} \cos \theta & \sin \theta \\ -\sin \theta & \cos \theta \end{pmatrix}$$

COMSOL模拟





PART 02

网页展示

主页

主页

热力学运输性质简介

Mathematica 模拟

Comsol 模拟



© Yizhou, Ma & Chi Shu | Design: 麻一州, 舒弛

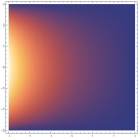
热力学运输性质简介

热传导方程是描述热量传递过程的基本方程，具有广泛的应用。在该部分中，我们简要讨论了热传导方程的一般形式。

Learn More

Mathematica 模拟

在这里，我们采用了 mathematica 模拟。



© Yizhou, Ma & Chi Shu | Design: 麻一州, 舒弛

Mathematica 模拟

Mathematica simulation

主页

热力学运输性质简介

Comsol 模拟



© Yizhou, Ma & Chi Shu | Design: 麻一州, 舒弛

在此，我们考虑二维导热介质的情况。假设热导率矩阵为：

$$\kappa = \begin{bmatrix} 1-l & l \\ l & 1-l \end{bmatrix}$$

当 $l < 0.5$ 时， κ 的两个本征值都是正的；当 $l > 0.5$ 时， κ 的一个本征值为正，另一个本征值为负，这将违反热力学第二定律。在数值模拟中，当 $l > 0.5$ 时的热传导行为会出现非常有趣的现象。

热传导 Mathematica 数值模拟

正方形区域上的热传导

```
In[1]:= ClearAll["Global`*"];
In[2]:= halfL = 3; maxt = 7; k1 = 0.5; k2 = 3; r1 = 0.5; r2 = 6;
bcLeft = {temp[-halfL, y, t] == (1 - Exp[-t^2]) (-y^2 + halfL^2),
temp[halfL, y, t] == 0, temp[x, -halfL, t] == 0,
temp[x, halfL, t] == 0};
bcAll = {temp[-halfL, y, t] == (1 - Exp[-t^2]),
temp[halfL, y, t] == (1 - Exp[-t^2]),
temp[x, -halfL, t] == (1 - Exp[-t^2]),
temp[x, halfL, t] == (1 - Exp[-t^2])};
bcCenter = {temp[-halfL, y, t] == 0, temp[halfL, y, t] == 0,
temp[x, -halfL, t] == 0, temp[x, halfL, t] == 0,
temp[x, y, t]};
SolveNonDag[bc_, step_] :=
Module[{kappa, pde, s}, kappa = {{1 - l, l}, {l, 1 - l}};
pde = Div[kappa . Grad[temp[x, y, t], {x, y}], {x, y}] ==
```

Get this Notebook

Powered by Wolfram

环状区域上的热传导

简介

Introduction

主页

Mathematica 模拟

Comsol 模拟



© Yizhou, Ma & Chi Shu | Design: 麻一州, 舒弛

热传导方程

热传导方程基本形式及其拓展

Fourier 最早认为，单位时间内通过的热量 J 与温度梯度 $\frac{dT}{dz}$ 成正比，即有

$$J = -\kappa \cdot S \cdot \frac{dT}{dz}$$

该公式考虑的是一维的情况，对于全空间场，我们不难得出热传导的微分形式为

$$\dot{Q} = \nabla \cdot (\kappa \nabla T)$$

在三维空间中， $\nabla \cdot (\kappa \nabla T)$ 表示温度场的散度乘以导热系数的梯度。这个方程表示热量在空间中的扩散情况。进一步，我们可以有

$$\rho \cdot c_p \frac{\partial T}{\partial t} = \nabla \cdot (\kappa \nabla T)$$

其中， ρ 表示介质的密度， c_p 表示比热容， $\frac{\partial T}{\partial t}$ 表示温度随时间的变化率。该公式描述了在各向同性介质中热是如何传播的。这也被称为热传导方程，它反映了热量的扩散和传输机制。

Comsol 模拟

COMSOL Simulation

主页

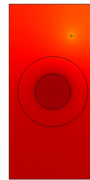
热力学运输性质简介

Mathematica 模拟

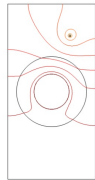


© Yizhou, Ma & Chi Shu | Design: 麻一州, 舒弛

热隐身技术的实际应用



第一张图：热力学梯度



第二张图：等温线

左侧图像展示了温度场的热力学梯度。图中颜色从红色到黄色渐变，红色区域表示温度较高，黄色区域表示温度较低。在图中中间区域，我们可以看到一个圆形区域，该区域的温度均匀，没有明显的梯度变化。这表明该区域实现了热隐身，即使外部存在热源，内部的温度仍然保持均匀。

图片说明

参考文献

- [1] Soboleva, V. Y., et al. "Cylindrical thermal invisibility cloak based on transformation thermodynamics." *Journal of Physics: Conference Series*. Vol. 1410. No. 1. IOP Publishing, 2019.
- [2] 沈翔瀛, and 黄吉平. "变换热学:热超构材料及其应用." *物理学报* 65.17(2016):106-132. doi:CNKI:SUN:WLXB.0.2016-17-008.
- [3] M. Nakahara, "Geometry, Topology and physics"
- [4] Ji-Ping Huang, "Transformation Thermotics and Extended Theories for Thermal Matamaterials"

Thanks



PART 04

Backup Slide

Details

说明: $\nabla \cdot X = \left(\frac{\partial X^\mu}{\partial x^\mu} + \Gamma^\mu_{\nu\sigma} X^\nu \right) = \frac{1}{\sqrt{g}} (\partial_\nu \sqrt{g})$

$$\Gamma^\alpha_{\rho\sigma} = \frac{1}{2} g^{\alpha\kappa} (\partial_\rho g_{\sigma\kappa} + \partial_\sigma g_{\rho\kappa} - \partial_\kappa g_{\rho\sigma})$$

$$\Gamma^\mu_{\nu\alpha} = \frac{1}{2} g^{\mu\kappa} (\partial_\nu g_{\alpha\kappa} + \partial_\alpha g_{\nu\kappa} - \partial_\kappa g_{\nu\alpha})$$

$$= \frac{1}{2} g^{\mu\kappa} \partial_\nu g_{\alpha\kappa} - \frac{1}{2} g^{\mu\kappa} \partial_\kappa g_{\nu\alpha} \left(\frac{1}{2} g^{\lambda\mu} \partial_\nu g_{\lambda\kappa} \right)$$

$$+ \frac{1}{2} g^{\mu\kappa} \partial_\alpha g_{\nu\kappa}$$

$$= \frac{1}{2} g^{\mu\kappa} \partial_\alpha g_{\nu\kappa} = \frac{1}{\sqrt{g}} \partial_\alpha \sqrt{g}$$

最后一步: $S \ln |\det M| \equiv \ln |\det(M+SM)| - \ln |\det M|$
 $= \ln \frac{\det(M+SM)}{\det M}$

$$= \ln \det [M^{-1}(M+SM)]$$

$$= \ln \det [\mathbb{1} + M^{-1}SM]$$

$$= \ln (1 + \text{Tr } M^{-1}SM)$$

$$= \text{Tr } M^{-1}SM$$

$$\therefore S \ln |\det g| = \text{Tr } g^{-1} Sg = g^{\alpha\beta} Sg_{\alpha\beta}$$

$$\partial_\nu \ln |\det g| = \frac{1}{2} g^{\alpha\beta} \partial_\nu g_{\alpha\beta}$$

$$\frac{1}{\sqrt{\det g}} \partial_\nu \sqrt{\det g} = \frac{1}{2} g^{\alpha\beta} \partial_\nu g_{\alpha\beta}$$

$$\therefore \Gamma^\mu_{\nu\alpha} = \frac{1}{\sqrt{g}} \partial_\alpha \sqrt{g}$$

$$\nabla \cdot X = \frac{1}{\sqrt{g}} \frac{\partial (\sqrt{g} X^\mu)}{\partial x^\mu}$$

得到任意流形下的热传导方程

$$\rho C \frac{\partial T}{\partial t} = \nabla \cdot (K \cdot \nabla T)$$

$$\text{R.H.S} = \nabla \cdot (K^\alpha_\beta \otimes \frac{\partial}{\partial x^\alpha} \otimes dx^\beta \otimes (g^{\mu\nu} \frac{\partial T}{\partial x^\mu} \frac{\partial}{\partial x^\nu}))$$

$$= \nabla \cdot (K^\alpha_\nu g^{\mu\nu} \frac{\partial T}{\partial x^\mu} \frac{\partial}{\partial x^\alpha})$$

$$= \frac{1}{\sqrt{g}} \partial_\alpha (\sqrt{g} K^\alpha_\nu g^{\mu\nu} \frac{\partial T}{\partial x^\mu})$$

$$\Rightarrow \rho C \frac{\partial T}{\partial t} = \frac{1}{\sqrt{g}} \partial_\alpha (\sqrt{g} K^\alpha_\nu g^{\mu\nu} \frac{\partial T}{\partial x^\mu})$$

不同坐标下 $\tilde{K}_{\mu\nu}$ 的变换关系

$$K^{\mu\nu} = K'^{\alpha\beta} \frac{\partial x^\mu}{\partial x'^\alpha} \frac{\partial x^\nu}{\partial x'^\beta}$$

$$\frac{1}{\sqrt{g}} \tilde{K}^{\mu\nu} = \frac{1}{\sqrt{g'}} \tilde{K}'^{\alpha\beta} J^\mu_\alpha J^\nu_\beta$$

$$g'^{\alpha\beta} = g_{\mu\nu} \frac{\partial x^\mu}{\partial x'^\alpha} \frac{\partial x^\nu}{\partial x'^\beta} = g_{\mu\nu} J^\mu_\alpha J^\nu_\beta$$

$$\Rightarrow \tilde{K}^{\mu\nu} = \frac{J^T \tilde{K}'^{\alpha\beta} J}{\det J}$$

J: $X' \rightarrow X$ 的 Jacobian

关于 \tilde{K} 的计算

$$(x, y) \rightarrow (r, \theta) \rightarrow (r', \theta') \rightarrow (x', y')$$

$$J^{-1} = \frac{D(x, y)}{D(r, \theta)} \cdot \frac{D(r, \theta)}{D(r', \theta')} \cdot \frac{D(r', \theta')}{D(x', y')}$$

$$= \begin{pmatrix} \cos \theta & -\sin \theta \\ \sin \theta & \cos \theta \end{pmatrix} \begin{pmatrix} \frac{R_2}{R_2 - R_1} & 0 \\ 0 & 1 \end{pmatrix} \begin{pmatrix} \frac{x}{\sqrt{x^2+y^2}} & \frac{y}{\sqrt{x^2+y^2}} \\ -\frac{y}{x^2+y^2} & \frac{x}{x^2+y^2} \end{pmatrix}$$

$$J^{-1} = \begin{pmatrix} \cos \theta & -\sin \theta \\ \sin \theta & \cos \theta \end{pmatrix} \begin{pmatrix} 1 & 0 \\ 0 & r' \end{pmatrix} \begin{pmatrix} \frac{R_2}{R_2 - R_1} & 0 \\ 0 & 1 \end{pmatrix} \begin{pmatrix} 1 & 0 \\ 0 & \frac{1}{r} \end{pmatrix} \begin{pmatrix} \cos \theta & \sin \theta \\ -\sin \theta & \cos \theta \end{pmatrix}$$

$$\det |J^{-1}| = \frac{r}{r'} \cdot \frac{R_2 - R_1}{R_2}$$

$$\hat{=} \tilde{K} = \mathbb{1}$$

$$J^T \tilde{K} J = R_\theta \begin{pmatrix} 1 & 0 \\ 0 & 1 \end{pmatrix} \begin{pmatrix} \frac{R_2}{R_2 - R_1} & 0 \\ 0 & 1 \end{pmatrix} \begin{pmatrix} 1 & 0 \\ 0 & r' \end{pmatrix} \begin{pmatrix} \frac{R_2}{R_2 - R_1} & 0 \\ 0 & 1 \end{pmatrix} \begin{pmatrix} 1 & 0 \\ 0 & \frac{1}{r} \end{pmatrix} R_{-\theta}$$

$$\therefore \tilde{K} = \begin{pmatrix} \cos \theta & -\sin \theta \\ \sin \theta & \cos \theta \end{pmatrix} \begin{pmatrix} \frac{r - R_1}{r} & 0 \\ 0 & \frac{r}{r - R_1} \end{pmatrix} \begin{pmatrix} \cos \theta & \sin \theta \\ -\sin \theta & \cos \theta \end{pmatrix}$$